

توده نفوذی شوшونیتی نسای پایین، شاهدی بر ماقماتیسم بعد از انومن در البرز مرکزی

پریسکه حسینی، علی کنانیان*، فاطمه سرجوقیان

دانشکده زمین‌شناسی، پردیس علوم، دانشگاه تهران، تهران، ایران

*مسئول مکاتبات-آدرس الکترونیکی: Kananian@Khayam.ut.ac.ir

(دریافت: ۸۷/۹/۵؛ پذیرش: ۸۸/۸/۲۳)

چکیده

توده نفوذی مورد مطالعه در زون ساختاری البرز مرکزی، در جنوب دره طالقان و نزدیک روستای نسای پایین قرار گرفته است. این توده نفوذی با ترکیب عمدتاً مونزونیتی به همراه مقادیر کمتری گابرو و دایک‌های سینیتی بعد از زمان انومن در بین توفیت‌های سبز رنگ سازند کرج نفوذ کرده است و در محل تماس با سنگ‌های میزبان حاشیه انجام سریع نشان می‌دهد. این سنگ‌ها با بافت دانه‌ای از لحاظ کانی‌شناسی اساساً از پلاژیوکلاز، کلینوپیروکسن و فلدسپار قلیایی تشکیل شده‌اند و از لحاظ ژئوشیمیایی نیز مشخصات سنگ‌های متالومین و شوшونیتی را ارائه می‌کنند. نسبت بالای Zr/Nb و Rb/Zr و پراکندگی نمونه‌ها بر روی نمودارهای Sm/Yb در برابر Sm و La/Sm منشاء گوشه‌غذی شده (لرزولیت اسپینل-گارنفلت‌دار)، را برای توده تداعی می‌کند. نتایج حاصل از بررسی نمودارهای تفکیک‌کننده محیط‌های تکتونیکی در کنار شواهدی چون غنی‌شدگی نمونه‌ها از عنصر LILE و تهی‌شدگی آن‌ها از HFSE، میزان پایین TiO_2 و نسبت بالای Ba/Ta و Ba/Nb نشان می‌دهد که سنگ‌های مورد مطالعه در یک محیط تکتونیکی مرتبط با فروزانش به وجود آمدند.

واژه‌های کلیدی: مونزونیت، شوشونیت، گوشه‌های متاسوماتیسم شده، فروزانش، البرز، طالقان.

آذرآواری، کنگلومرا، آگلومرا، ماسه‌سنگ، مادستون و ژیپس تشکیل شده‌اند. این سنگ‌ها با یک ناپیوستگی بر روی سازندهای قدیمی‌تر قرار گرفته‌اند و بیشترین ضخامت آن‌ها در شمال غرب ورقه قزوین رشت، حدود ۶۰۰۰ متر گزارش شده است (Annells *et al.* 1975). آنلز و همکاران (Annells *et al.* 1975) سنگ‌های آتشفسانی این منطقه را از قدیم به جدید به سه فاز به شرح زیر تقسیم نموده‌اند. ۱) فاز ۱ مربوط به انومن است و حاوی توفیت‌های زیردریایی (اسیدی تا حدود ۲) مربوط به همراه رسوبات دریایی تقریباً کم عمق هستند. ۲) فاز ۳ بیشتر در قسمت‌های غربی چهارگوش قزوین-رشت گسترش دارد. در این فاز، آتشفسانهای انفجری رونق داشته و طی آن ریولیت، داسیت و آندزیت همراه با توفیت‌های وابسته و ایگنمبریت به سطح زمین رسیده‌اند. فاز ۱ و ۲ در بیشتر قسمت‌های منطقه وجود دارد اما سنگ‌های فاز ۳ فقط در غرب قزوین دیده می‌شوند. این سه فاز اختلاف ضخامت زیادی با هم دارند.

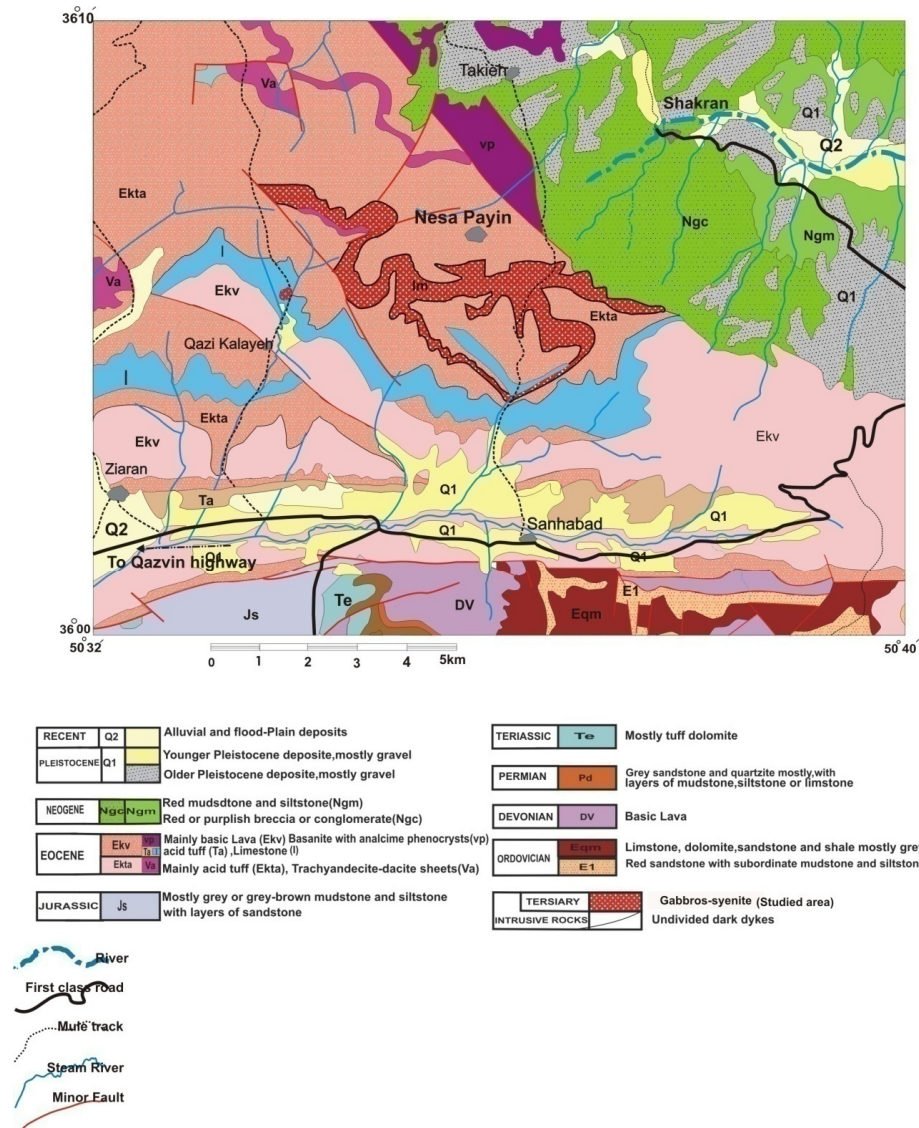
در منطقه مورد مطالعه یک توده نفوذی با ترکیب عمدتاً مونزونیتی در جنوب دهکده نسای پایین به داخل سازند کرج نفوذ نموده است. این توده در بین توفیت‌های اسیدی منطقه جایگزین شده است و از لحاظ سنی متعلق به فعالیت‌های ماقمایی بعد از انومن می‌باشد. در

۱- مقدمه

منطقه مورد مطالعه در رشته کوه‌های طالقان، در میان ارتفاعات رشته کوه‌های البرز مرکزی، بین طول‌های جغرافیایی $50^{\circ} 32' - 40^{\circ} 50'$ شمالی و عرض‌های جغرافیایی $36^{\circ} 06' - 36^{\circ} 36'$ خاوری قرار دارد (شکل ۱). مهم‌ترین راه دسترسی به منطقه، جاده آسفالت طالقان است که بعد از شهر آبیک از اتوبان کرج-قزوین منشعب شده و پس از گذر از شهرک تا سد طالقان ادامه می‌یابد.

رشته کوه‌های طالقان بر اساس تقسیم‌بندی دلنباخ (Dellenbach 1964) در زون ترشیری مرکزی واقع شده و بر اساس تقسیم‌بندی اشتوكلین و افتخارنژاد (Stockline & Eftekhar-nezhad 1968) بخشی از زون ساختاری البرز مرکزی محسوب می‌شود که دارای روند تقریباً شرقی غربی است و توسط دره‌های عمیق گسلی با راستای غرب-شمال غرب قطع می‌گردد (Stalder 1971). در طی پالتوژن زون البرز به شدت تحت تاثیر فازهای کوهزایی آلپی قرار داشته و فعالیت‌های آتشفسانی در تمام طول آن دیده می‌شود. سنگ‌های آتشفسانی این زون بیشتر از نوع آندزیت، داسیت و ریولیت بوده و با توده‌های ایگنمبریتی و توفیت‌های فراوان همراه است (Annells *et al.* 1975).

سنگ‌های منطقه طالقان به عنوان بخشی از سازند کرج به سن پالتوژن، از لحاظ سنگ‌شناسی عمدتاً از گدازه، توفیت، رسوبات



شکل ۱- نقشه زمین‌شناسی منطقه مورد مطالعه که بخشی از نقشه ۱:۲۵۰,۰۰۰ چهارگوش قزوین-رشت است (Annells *et al.* 1975).

توفیت‌ها آثار موجودات زنده‌ای مثل کرم و ساختهای رسویی مثل ریپل مارک دیده می‌شود (Annells *et al.* 1975). توفیت‌های دانه درشت اغلب رنگ سبز داشته و ذرات آن‌ها در حد ماسه است و در بعضی از انواع دانه درشت، بلورهای کوارتز و پلاژیوکلاز با چشم غیر مسلح دیده می‌شوند. توفیت‌ها در محل همبrij با توده نفوذی، متحمل دگرگونی مجاورتی ضعیف شده‌اند و به دلیل فعالیت سیالات گرمابی، تجدید تبلور پیدا کرده‌اند.

توده نفوذی در محل تماس با توفیت‌های اسیدی، حاشیه انجامد سریع نشان می‌دهد. سنگ‌های حاشیه انجامد سریع، رنگ خاکستری و بافت پورفیری دارند و حاوی بلورهای درشت پلاژیوکلاز و کلینوپیروسن می‌باشند. توده اصلی را می‌توان بر اساس مشخصات سنگ‌شناسی به دو قسمت فوقانی و تحتانی تقسیم کرد. بخش تحتانی

مقاله حاضر به منظور بررسی ویژگی‌های پتروژنی توده نفوذی نسای پایین، نتایج مطالعات صحرایی، پتروگرافی و آنالیز ژئوشیمیایی این سنگ‌ها که به روش ICP-MS در آزمایشگاه ALS Chemex کانادا انجام شده، مورد بحث قرار گرفته است.

۲) زمین‌شناسی منطقه

توده نفوذی نسای پایین به صورت یک سیل نسبتاً بزرگ چین خورده به طول تقریبی ۷-۸ کیلومتر و با ضخامتی حدود ۷۰۰ متر به داخل سنگ‌های آذرآواری و رسویی فاز یک سازند کرج نفوذ کرده است (شکل ۱). توفیت‌های در برگیرنده این توده لایه لایه و کاملاً چین خورده هستند و به رنگ‌های سبز، خاکستری، و کرم با لایه‌بندی میلی‌متری تا چند متری دیده می‌شوند. در بعضی قسمت‌ها درون

تیره و کلینوپیروکسن‌های دانه ریز هستند. معمولاً کانی‌های پلاژیوکلاز، پیروکسن و الیوین به دلیل عملکرد محلول‌های گرمایی دگرسان شده‌اند (شکل a-2). حضور حاشیه انجامد سریع در قشر خارجی توده به دلیل افت سریع دمای ماقما در جوار سنگ‌های میزبان نسبتاً سرد و نشانه جایگزینی توده در اعماق کم پوسته است.

(۲) در بخش گابرویی، پلاژیوکلاز با ترکیب کلسیک به عنوان فراوان‌ترین کانی سازنده سنگ‌ها، اغلب نیمه شکل‌دار تا شکل‌دار است، ماکل پلی‌سنتیک و در برخی موارد زونینگ و حاشیه گردشده دارد. با توجه به عدم اختلاط ماقمایی (شواهد صحرایی، پتروگرافی و ژئوشیمیایی) و ساختار سیل مانند این توده (فشار و دمای تقریباً یکسان) و وجود کانی آبدار، احتمالاً زونینگ پلاژیوکلاز مرتبط با تغییر فوگاسیته اکسیژن در این توده است. پلاژیوکلازها در بعضی از موارد به طور بخشی به سوسوریت دگرسان شده‌اند و کانی‌های ثانویه کلسیت، اپیدوت و کلریت در آن‌ها به وجود آمده است. تمرکز محصولات دگرسانی در بخش‌هایی از بلورهای زونه که ترکیب مناسب و حساس در برابر دگرسانی داشته‌اند، بیشتر است. فلدسپارهای پتاسیم‌دار در مقایسه با پلاژیوکلازها فراوانی چندانی ندارند و اغلب به صورت بی‌شکل دیده می‌شوند. پیروکسن‌ها به عنوان فراوان‌ترین کانی مافیک در این سنگ‌ها اغلب سالم و با توجه به مشخصات پتروگرافی از نوع کلینوپیروکسن (اوژیت) هستند. این بلورها اغلب شکل‌دار می‌باشند و به نظر می‌رسد زودتر از فلدسپارها متبلور شده باشند. در درون برخی از کلینوپیروکسن‌ها ادخال‌هایی از الیوین و کانی‌های اپک دیده می‌شود. بیوتیت‌های بی‌شکل تا نیمه شکل‌دار به رنگ قهوه‌ای دیده می‌شوند و گاهی براثر فرایندهای هیدروترمال به طور بخشی به کانی‌های ثانویه کلریت و اکسیدهای آهن تعزیه شده‌اند. بعضی بیوتیت‌ها به مقدار کم حاوی ادخال‌های نیمه‌شکل‌دار زیرکن هستند. الیوین‌ها به صورت شکل‌دار و نیمه شکل‌دار بوده و به طور بخشی به کلریت و سرپانتین تبدیل شده‌اند به صورتی که گاهی فقط قالبی از الیوین باقی مانده است. آپاتیت به صورت ادخال در پلاژیوکلازها وجود دارد و کانی‌های کدر بی‌شکل از نوع مگنتیت، اغلب در کنار بیوتیت‌ها ظاهر شده‌اند.

(۳) بخش مونزونیتی، دانه ریزتر از بخش گابرویی بوده و سنگ‌های آن به رنگ خاکستری روشن دیده می‌شوند. پلاژیوکلازها (در حد آندزین-لابرادوریت) حدود ۳۰٪ کانی‌های اصلی مونزونیت‌ها را تشکیل می‌دهند و اغلب حاوی بلورهای آپاتیت می‌باشند. کلینوپیروکسن ۱۳٪ سنگ را شامل می‌شود. اندازه کانی‌ها در حدود ۱ تا ۵ میلی‌متر متغیر است و در آن‌ها ادخال‌هایی از الیوین و اکسیدهای آهن دیده می‌شود. فلدسپار قلیایی در حدود ۱۳ درصد سنگ را شامل می‌شود (شکل b-2).

با ترکیب گابرویی، دارای بلورهای درشت‌تری نسبت به بخش‌های فوکانی با ترکیب مونزونیتی است. رگه‌های متعدد با ترکیب سیینیتی به ضخامت کمتر از ۵۰ cm، بخش‌های فوکانی توده را قطع نموده‌اند. این رگه‌ها در نمونه دستی رنگ خاکستری روشن دارند و عمدها از مجموعه بلورهای ریز و یکنواخت فلدسپار قلیایی تشکیل شده‌اند.

(۳) پتروگرافی

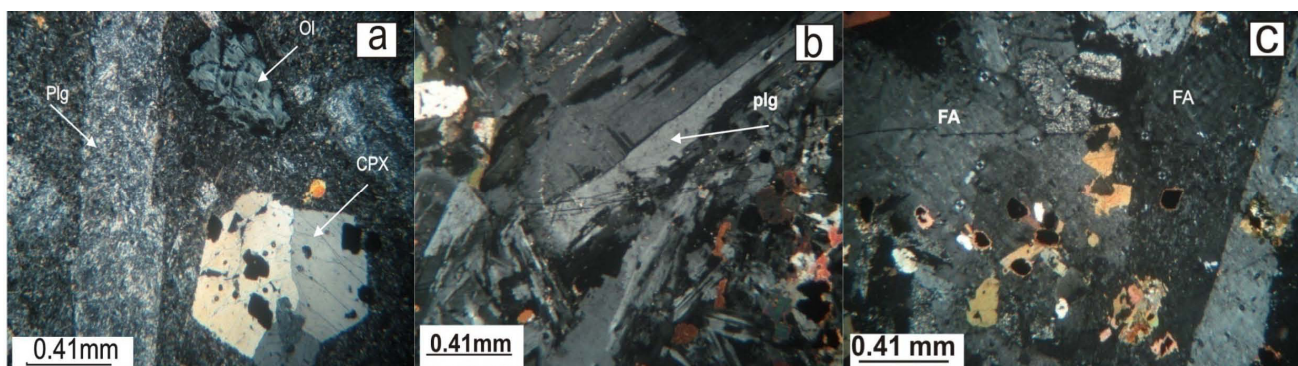
توده نفوذی نسای پایین یک سیل بزرگ با تنوع سنگی از گابرو تا سیینیت است که از لحاظ ترکیب سنگ‌شناسی و بافتی از پایین به بالا منطقه بندی قائم نشان می‌دهد به طوری که در قسمت‌های تحتانی، سنگ‌ها درشت‌تر و بازیکتر و به دلیل وفور کانی‌های پلاژیوکلاز، کلینوپیروکسن (اوژیت) و تا حدی الیوین دارای ترکیب گابرو تا مونزوگابرویی هستند، ولی به تدریج به طرف قسمت‌های بالایی توده، سنگ‌ها ترکیب مونزونیتی پیدا کرده و دانه ریزتر می‌شوند. بافت عمومی سنگ‌های نفوذی، دانه‌ای است اما سنگ‌های مربوط به حاشیه انجامد سریع بافت پورفیری نشان می‌دهند. به طور کلی در این سنگ‌ها کانی‌های پلاژیوکلاز، پیروکسن، بیوتیت، فلدسپار قلیایی، زیرکن، آپاتیت، الیوین، کانی‌های کدر و کانی‌های ثانویه دیده می‌شوند (جدول ۱).

از لحاظ تنوع سنگ‌شناسی، چهار گروه سنگی شامل حاشیه انجامد سریع، بخش گابرویی (تحتانی)، بخش مونزونیتی (فوکانی) و رگه‌های سیینیتی به شرح زیر در این توده قابل شناسایی است.

(۱) حاشیه انجامد سریع با ضخامتی در حدود یک متر در محل همبری توده با سنگ میزبان (توفیت‌ها) تشکیل شده است. این بخش با ترکیبی گابرویی، بافت پورفیری داشته و به سمت داخل توده تدریجاً بافت اینترگرانولار پیدا می‌کند. بلورهای درشت و اتومورف پلاژیوکلاز (احتمالاً با ترکیب کلسیک) بیشتر حجم سنگ را شامل می‌شوند. این بلورها دارای ماکل پلی‌سنتیک و گاه زوناسیون هستند. وجود زونینگ نشان دهنده تغییر ناگهانی ترکیب ماقما، دما، فشار و یا فوگاسیته اکسیژن در زمان تبلور بلورها است. در صورت توقف طولانی مدت بلور در داخل مذاب معمولاً بین ترکیب پلاژیوکلازها و ترکیب ماقما تعادل برقرار شده و زونینگ ایجاد نمی‌شود. بالعکس وجود زونینگ نشانگر آهسته بودن سرعت تعادل نسبت به سرعت تبلور است (Shelley 1993). بنا بر این به نظر می‌رسد که وجود زونینگ در پلاژیوکلازها به دلیل سرد شدن سریع حاشیه توده و احتمالاً ناشی از تغییرات سریع دما باشد. کلینوپیروکسن‌ها بسیار دانه درشت و از نوع اوژیت هستند. بیوتیت‌ها در حدود ۵٪ و الیوین‌ها ۳٪ فنوکریست‌ها را شامل می‌شوند. زمینه این سنگ‌ها بسیار دانه‌ریز بوده، در حدود ۲۰٪ حجم سنگ را به خود اختصاص داده‌اند و شامل میکرولیت‌های پلاژیوکلاز، کانی‌های

جدول ۱- نتایج آنالیز مдал سنگ‌های نفوذی نسای پایین

	<i>gabbro</i>	<i>monzogabbro</i>	<i>monzonite</i>	<i>syenite</i>				
<i>Samples</i>	th52A	th60A	th106	th13	th93	th9	th10	th105
<i>Plagioclase</i>	46.1	47.0	45.3	35.4	35.9	30.3	31.0	31.9
<i>Clinopyroxene</i>	16.7	17.3	17.5	16.1	16.1	13.7	13.7	13.1
<i>Biotite</i>	10.2	8.2	8.4	6.9	7.6	6.3	6.9	5.6
<i>Olivine</i>	1.9	1.6	2.0	1.1	1.3	0.2	0	0.2
<i>Alkali feldspar</i>	1.7	1.9	1.6	9.6	7.6	14.1	13.3	12.1
<i>Apatite</i>	0.9	0.6	0.8	0	0.3	0.2	0.3	0
<i>Sericitic alkali feldspar</i>	3.6	3.5	3.9	9.7	8.8	13.9	12.9	14.4
<i>Saussuritic plagioclase</i>	5.9	6.3	5.4	2.4	2.8	1.5	1.6	1.0
<i>Sericite</i>	10.2	10.8	12.4	16.6	17.2	18.1	17.5	18.3
<i>Chlorite</i>	1.1	1.3	0.6	0.8	0.9	0.2	0.5	1.1
<i>Opaque minerals</i>	1.7	1.6	2.0	1.6	1.6	2.4	1.4	0
								0



شکل ۲- تصاویر میکروسکوپی بخش‌های مختلف توده نفوذی نسای پایین در نور دیوار پلازیزه. (a) حاشیه انجاماد سریع، (b) سنگ‌های مونزونیتی و (c) رگه سینیتی.
=فلدسبار آلکالن ، Plg = پلازیوکلاز ، Ol = الیوین و CPX = کلینوپیروکسن) .

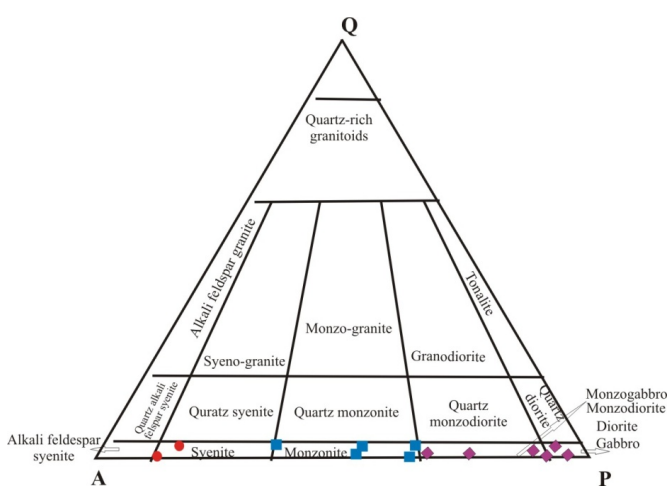
و فرعی در مقابل MgO استفاده شده است. با افزایش مقدار MgO مقادیر اکسیدهای CaO, TiO₂, MnO, FeOT و Na₂O, K₂O, Al₂O₃, SiO₂ کاهش می‌یابد. همچنین با افزایش MgO، عناصر Th و Zr و Rond کاهشی و عناصر V, Sr, Ni و

۴) رگه‌هایی با ترکیب سینیت بیشتر در قسمت‌های بالایی توده رخنمون دارند و ضخامت آن‌ها اکثراً در حد cm30 است. حضور این رگه‌ها در رخساره حاشیه‌ای توده نفوذی حاصل تجمع فلدسبارهای قلیایی در مآگمای باقیمانده حاصل از تبلور توده می‌باشد. تصور می‌شود که بلورهای فلدسبار قلیایی در امتداد شکستگی‌های انقباضی در قسمت حاشیه‌ای و نسبتاً کم عمق مخزن مآگمایی تجمع یافته‌اند. این سنگ‌ها حدود ۷۰ درصد فلدسبار قلیایی، مقادیر کمی بلورهای ریز پلازیوکلاز و بلورهای سوزنی آمفیبول دارند (شکل ۲).

نتایج آنالیز مдал بخش‌های مختلف توده نفوذی نسای پائین در جدول ۱ نمایش داده شده است. نمونه‌های مرتبط با توده نفوذی در نمودار مثلثی کوارتز- فلدسبار قلیایی - پلازیوکلاز (Streckeisen 1976) در محدوده‌های گابرو، مونزوگابرو، مونزونیت و رگه‌ها نیز در قلمرو سینیت قرار می‌گیرند (شکل ۳).

۴) ژئوشیمی

با استناد به نتایج آنالیز شیمیایی عناصر اصلی و کمیاب در ۱۰ نمونه از سنگ‌های نفوذی منطقه که به روش ICP در آزمایشگاه ALS-Chemex در کشور کانادا انجام شده (جدول ۲)، خصوصیات ژئوشیمیایی آن‌ها مورد بررسی قرار گرفته است. جهت تفسیر تحولات مآگمایی به خاطر تعییرات محدود سیلیس، از نمودارهای Fenner (تعییرات عناصر اصلی



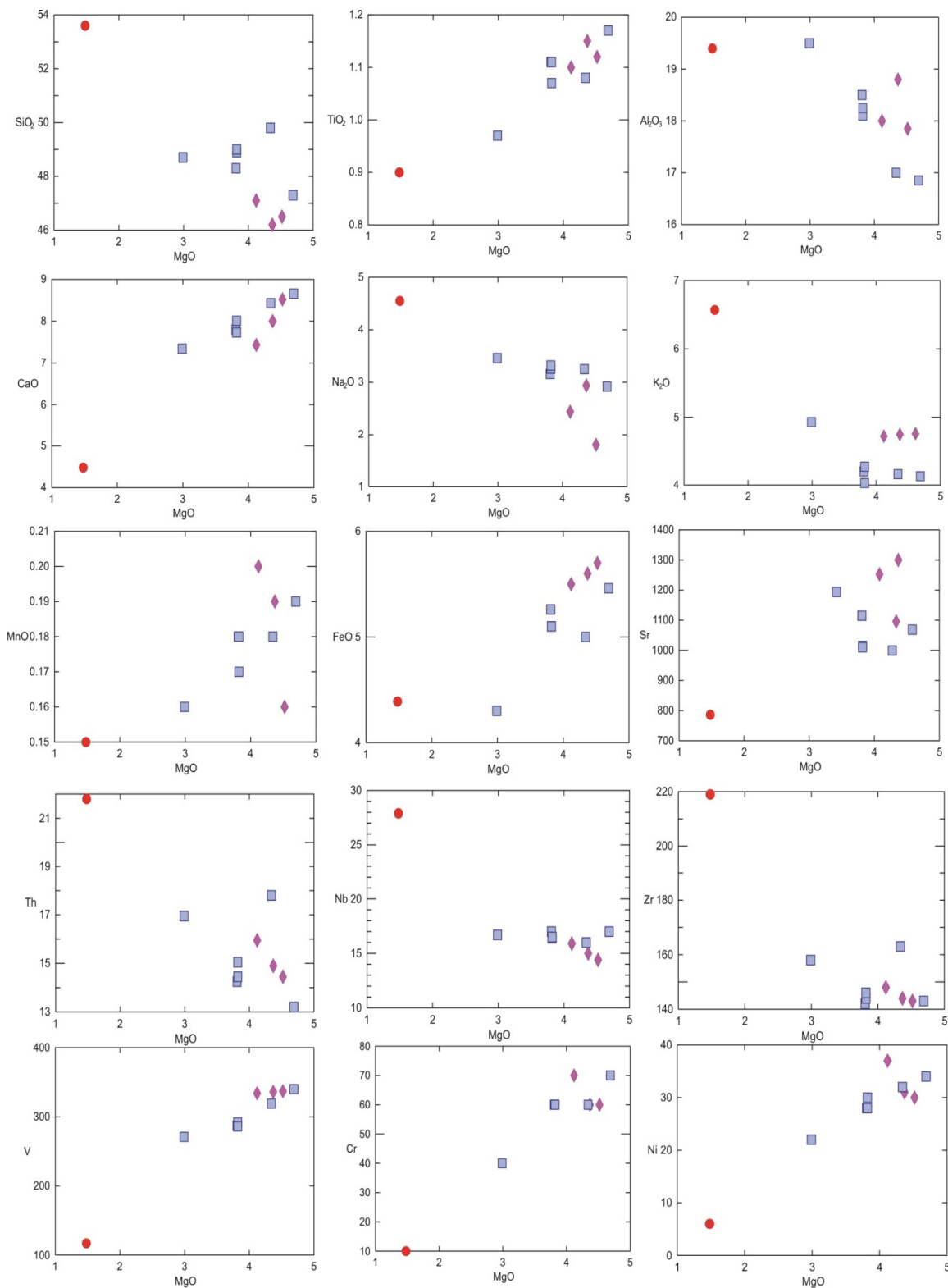
شکل ۳- موقعیت نمونه‌های مورد مطالعه بر روی نمودار رده‌بندی مдал سنگ‌های نفوذی بر حسب فراوانی کوارتز (Q) آلکالی فلدسبار (A) و پلازیوکلاز (P) (Streckeisen 1976). لوزی مریبوط به قسمت‌های تحتانی توده (گابرو- مونزوگابرو) و مربع‌ها مریبوط به قسمت‌های فوقانی (مونزونیت) و دایره مریبوط به رگه‌ها (سینیت) می‌باشد.

جدول ۲- فراوانی عناصر اصلی و کمیاب در توده نفوذی نسائ پایین.

Sample	gabbro			monzogabbro-				monzonite	syenite	
	TH52A	TH60A	TH93	TH106	TH13	TH10	TH105	TH9	TH8	TH2
<i>SiO₂</i>	47.1	46.2	46.5	48.3	48.7	48.9	49	47.3	49.8	53.6
<i>TiO₂</i>	1.1	1.15	1.12	1.11	0.97	1.11	1.07	1.17	1.08	0.9
<i>Al₂O₃</i>	18	18.8	17.85	18.5	19.5	18.1	18.25	16.85	17	19.4
<i>Fe₂O₃</i>	3.85	4.2	3.9	3.78	3.56	3.66	3.74	3.8	3.65	1.68
<i>FeO</i>	5.5	5.6	5.7	5.26	4.3	5.1	5.1	5.46	5	4.39
<i>MnO</i>	0.2	0.19	0.16	0.18	0.16	0.18	0.17	0.19	0.18	0.15
<i>MgO</i>	4.12	4.37	4.52	3.81	2.99	3.82	3.82	4.69	4.34	1.48
<i>CaO</i>	7.43	8	8.52	7.8	7.34	8.01	7.73	8.66	8.43	4.48
<i>Na₂O</i>	2.44	2.94	1.8	3.16	3.46	3.26	3.32	2.92	3.25	4.55
<i>K₂O</i>	4.72	4.84	4.9	4.2	4.93	4.03	4.27	4.13	4.16	6.57
<i>P₂O₅</i>	0.76	0.7	0.65	0.69	0.7	0.75	0.67	0.7	0.17	0.51
<i>Ba</i>	1840	1420	2180	1275	1470	1275	1280	1245	136	1925
<i>Rb</i>	243	193	191.5	193	218	180	190.5	204	193	218
<i>Sr</i>	1330	1300	1070	1115	1180	1015	1010	943	984	786
<i>Y</i>	23.9	23.8	23.9	22.6	22.6	22.8	23.2	24.8	25.3	27.3
<i>Zr</i>	148	144	143	142	158	144	146	143	163	219
<i>Nb</i>	15.9	15	14.4	17	16.7	16.4	16.5	17	16	27.9
<i>Th</i>	15.95	14.9	14.45	14.25	16.95	14.45	15.05	13.2	17.8	21.8
<i>Pb</i>	36	25	29	25	30	25	26	27	28	39
<i>Ga</i>	19.9	20	19.5	19.3	19.9	18.9	19.1	19.2	19.7	19.8
<i>Zn</i>	140	110	110	107	99	105	104	116	113	103
<i>Cu</i>	216	195	176	194	208	222	207	194	214	269
<i>Ni</i>	37	31	30	28	22	30	28	34	32	6
<i>V</i>	334	336	337	287	271	292	286	340	319	117
<i>Cr</i>	70	60	60	60	40	60	60	70	60	10
<i>Hf</i>	3.5	3.5	3.5	3.4	3.7	3.4	3.5	3.6	4	5.1
<i>Cs</i>	8.62	20	3.85	6.9	7.5	6.51		6.59	6.66	7.28
<i>Ta</i>	1	0.9	0.8	1	1	1	1	1	1	1.6
<i>Co</i>	68.2	52.4	47.2	50.9	52.1	62.8	53	64	55.6	53.5
<i>U</i>	4.83	4.57	4.47	4.33	5.15	4.41	4.61	4.06	5.53	6.75
<i>W</i>	286	192	135	234	225	309	224	254	227	333
<i>Sn</i>	4	4	3	3	4	5	4	4	6	4
<i>Mo</i>	3	3	2	3	3	3	3	2	3	4
<i>La</i>	40.7	39.1	37.6	38.8	41.7	39.1	39.7	38.7	40.4	51
<i>Ce</i>	78.1	75.2	73	74.4	78.7	74.4	76.4	76	78.2	94.3
<i>Pr</i>	9.06	8.82	8.66	8.55	9.02	8.66	8.8	8.96	9.28	10.6
<i>Nd</i>	34.9	34.2	33.8	33	34.2	32.3	33.2	34.7	35.4	38.5
<i>Sm</i>	6.55	6.41	6.48	6.07	6.11	6.01	6.13	6.6	6.89	6.83
<i>Eu</i>	1.9	1.94	1.97	1.83	1.89	1.85	1.83	1.89	2.02	1.89
<i>Gd</i>	6.53	6.48	6.63	6.08	6.37	6.06	6.15	6.61	6.73	6.83
<i>Tb</i>	0.92	0.93	0.93	0.85	0.83	0.87	0.86	0.94	0.96	0.97
<i>Dy</i>	4.65	4.69	4.84	4.35	4.35	4.49	4.53	4.83	4.95	5.09
<i>Ho</i>	0.9	0.91	0.9	0.86	0.82	0.87	0.86	0.95	0.96	0.98
<i>Er</i>	2.58	2.67	2.67	2.51	2.5	2.56	2.61	2.72	2.79	3.08
<i>Tm</i>	0.33	0.33	0.34	0.34	0.33	0.34	0.34	0.35	0.37	0.42
<i>Yb</i>	2.29	2.16	2.28	2.2	2.21	2.24	2.28	2.34	2.4	2.9
<i>Lu</i>	0.32	0.32	0.34	0.32	0.32	0.33	0.34	0.34	0.36	0.43

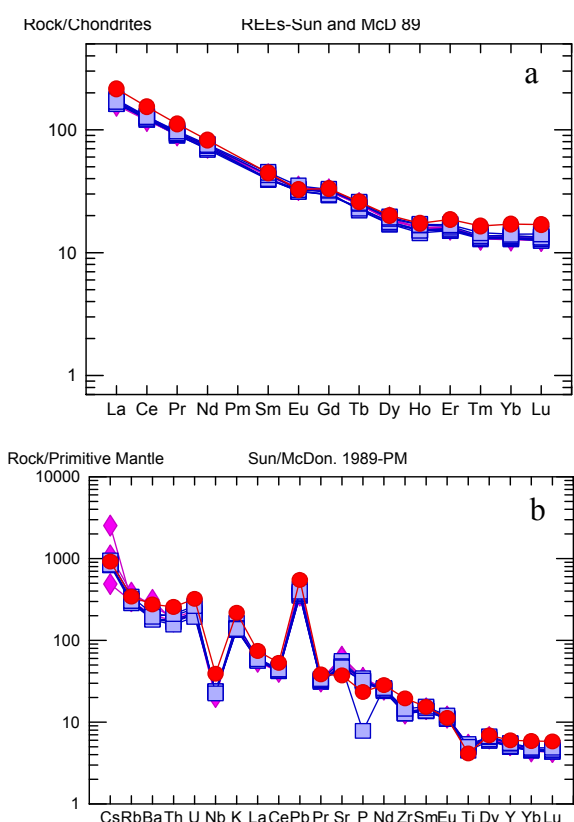
نمودار تغییرات $(A/CNK)Al_2O_3/Na_2O + K_2O$ در برابر $(A/NK)Al_2O_3/Na_2O + K_2O$ نیز تماماً در قلمرو متألومین (Maniar & Piccoli 1989) واقع شده‌اند (شکل ۶). بنابر این مگماتیک دهنده سنگ‌های مورد مطالعه از لحاظ فراوانی عناصر اصلی شباهت زیادی با مگماهای شوшуونیتی نشان می‌دهد. در نمودارهای عنکبوتی شکل ۷-a تغییرات عناصر کمیاب و نادر

رونده افزایشی نشان می‌دهند (شکل ۴). روند تغییر فراوانی عناصر اصلی و کمیاب در توده نفوذیتابع کاهش فراوانی کانی‌های فرومیزین الیوین، پیروکسن و هورنبلند در اثر تفریق بلورین از گابروها به سمت سیینیت‌ها است. سنگ‌های توده نفوذی نسائی پایین در نمودار تغییرات SiO_2 در مقابل K_2O به دلیل داشتن پتانسیم زیاد در محدوده شوшуونیتی (Peccerillo & Taylor 1976) قرار گرفته‌اند (شکل ۵) و در

شکل ۴- نمودارهای تغییرات درصد وزنی اکسیدهای اصلی و عناصر کمیاب در برابر درصد وزنی MgO . علائم مشابه شکل ۳ است

سینیتی با یکدیگر موازی بوده و همگی از عناصر LREE نسبت به HREE غنی‌شدگی پیدا کرده‌اند. در نمودارهای عنکبوتی عادی سازی شده نسبت به گوشه‌های اولیه (Sun & McDonough, 1989)، سنگ‌های

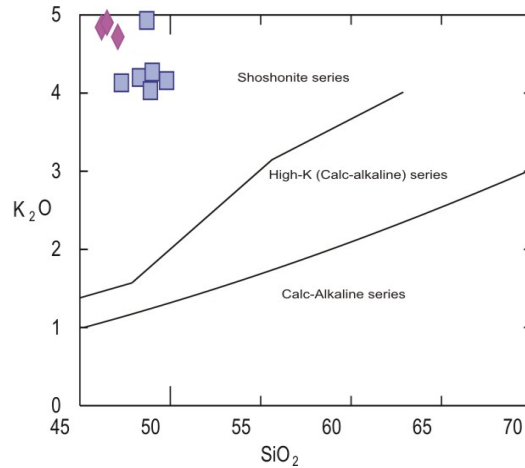
خاکی نسبت به کندربیت (Sun & McDonough, 1989) عادی سازی شده است. چنانچه در این شکل ملاحظه می‌شود الگوی فراوانی عناصر نادر خاکی در تمامی نمونه‌ها اعم از گابرو، مونزونیت و رگه‌های



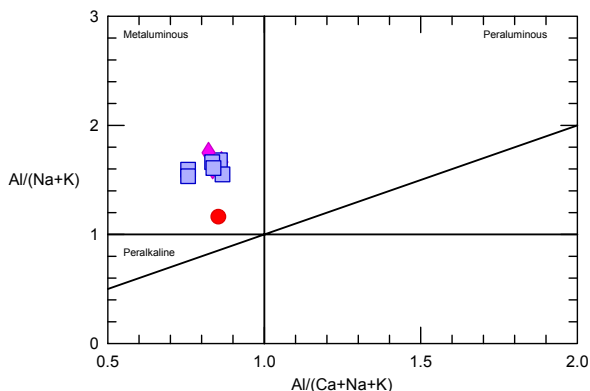
شکل ۷- نمودار تغییرات فراوانی عناصر فرعی و نادر خاکی که نسبت به (a) کندریت و (b) گوشه‌ته اولیه عادی سازی شده‌اند (Sun & McDonough 1989). علائم مشابه شکل ۳ است.

اصلًا سنگ‌های شوشوونیتی بر حسب محتوی سیلیس به سه گروه سنگ‌های بازیک ($\text{SiO}_2 < 53\%$)، سنگ‌های حدوداً ۵۳% ($\text{SiO}_2 < 63\%$) و سنگ‌های اسیدی ($\text{SiO}_2 < 63\%$) قابل تقسیم‌اند (Morrison 1980). تغییرات SiO_2 در نمونه‌های مورد مطالعه بین ۴۶/۲ تا ۵۳/۶ متغیر است که بیشترین مقدار SiO_2 مربوط به رگه‌های سیبیتی است. به طور کلی در همه نمونه‌ها، سنگ‌ها تحت اشباع از SiO_2 بوده و همگی نفلین نورماتیو هستند (جدول ۳). روند صعودی اکسیدهای MnO ، TiO_2 و FeO در مقابل افزایش MgO در نمونه‌ها، با جایگزینی این عناصر در شبکه کانی‌های فرومینیزین همچون پیروکسن و الیوین قابل تفسیر است. CaO به علت مشارکت در ساختمان پلاژیوکلاز و تجمع این کانی در گابروها و مونزونیت‌ها، روند صعودی را به نمایش می‌گذارد. در حالی که اکسیدهای Na_2O ، K_2O و Al_2O_3 روند نزولی را نشان می‌دهند زیرا این عناصر در مراحل اولیه تبلور ماقمایی ناسازگار بوده و به درون شبکه بلوری کانی‌های دما بالا وارد نمی‌شوند. Sr به دلیل جانشینی به جای کلسیم در پلاژیوکلاز روندی مشابه CaO را دنبال می‌کند. نیکل، کروم و وانادیم نیز به صورت عناصر سازگار عمل

توده مورد مطالعه همگی دارای آنومالی منفی Nb ، Ti و Ta و آنومالی مشبت K ، Sr و Pb هستند (شکل ۷-ب). به عبارت دیگر این سنگ‌ها از HFSE‌ها نسبت به LILE‌ها غنی‌ترند.



شکل ۵- تعیین سری‌های ماقمایی با استفاده از نمودار تغییرات سیلیس در برابر K_2O (Peccerillo & Taylor, 1976). نمونه‌ها در محدوده شوشوونیتی قرار می‌گیرند. علائم مشابه شکل ۳ است.



شکل ۶- نمونه‌های مورد مطالعه در نمودار تغییرات $\text{Al}_2\text{O}_3/\text{Na}_2\text{O}+\text{K}_2\text{O}$ (A/CNK) $\text{Al}_2\text{O}_3/\text{CaO}+\text{Na}_2\text{O}+\text{K}_2\text{O}$ (A/NK) در قلمرو ماتالومین (Maniar & Piccoli, 1989) قرار می‌گیرند. علائم مشابه شکل ۳ است.

(۵) بحث

به طور کلی شواهد و ویژگی‌هایی چون (۱) وجود کانی‌های Mg الیوین و کلینوپیروکسن (Eklund & Shebanov, 2005; Jiang et al., 2002) (۲) بالا بودن میزان عناصر قلیایی ($\text{K}_2\text{O} + \text{Na}_2\text{O} > 5\%$) (Turner et al., 1996) (۳) غنی بودن نمونه‌ها از LILE (Pearce 1982) (۴) داشتن TiO_2 کمتر از $1/2$ و Al_2O_3 بین ۱۴ تا ۲۰ (Morrison, 1980) (۵) نسبت Ce/Yb بالاتر از ۲۰ (Pearce 1982) همگی دلالت بر آن دارند که توده نفوذی نسای پایین یک توده شوشوونیتی است.

جدول ۳- نتایج آنالیز نورم سنگ‌های شوشونیتی نسائے پایین.

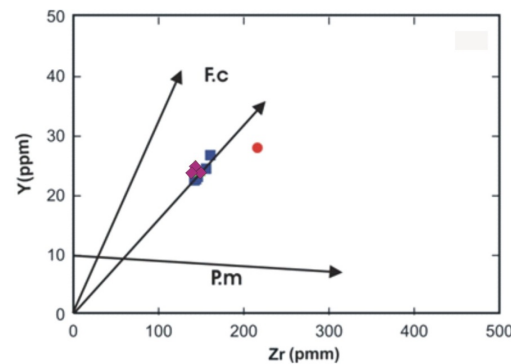
	<i>Gabbro</i>			<i>monzogabbro</i>			<i>Monzonite</i>			<i>Syenite</i>	
<i>sample</i>	<i>TH52A</i>	<i>TH60A</i>	<i>TH106</i>	<i>TH93</i>	<i>TH13</i>	<i>TH10</i>	<i>TH105</i>	<i>TH9</i>	<i>TH1</i>	<i>TH2</i>	
<i>Q</i>	0.00	0.00	0.00	0.00	0.00	0.00	0.00	0.00	0.00	0.00	
<i>Or</i>	29.43	29.46	25.65	30.53	30.02	24.57	25.95	25.47	25.28	39.22	
<i>Ab</i>	15.48	6.44	18.66	9.11	15.85	21.17	19.54	14.07	17.55	22.82	
<i>An</i>	25.57	24.53	24.70	27.59	23.83	23.59	22.92	21.58	20.07	13.25	
<i>Ne</i>	4.58	12.46	6.40	4.76	9.71	5.42	6.67	7.98	7.48	11.08	
<i>Di</i>	6.48	9.32	8.52	10.01	7.20	9.90	9.62	14.80	17.44	4.68	
<i>OI</i>	12.30	11.77	10.15	12.03	7.83	9.31	9.56	9.95	7.50	4.84	
<i>Mt</i>	2.87	2.85	2.82	2.89	2.66	2.82	2.76	2.91	2.77	1.77	
<i>il</i>	1.62	1.65	1.60	1.65	1.39	1.60	1.53	1.70	1.55	1.27	
<i>Ap</i>	1.68	1.51	1.49	1.43	1.51	1.62	1.44	1.53	0.37	1.08	

LREE نسبت به HREE دیده می‌شود، بعید به نظر می‌رسد که این روند بر اثر تمرکز فاز سیال در مagmaهای اسیدی ایجاد شده باشد. میزان بالای Pb و نسبت پایین Nb/U (Rudnick & Fountain, 1995) در این توده حاکی از دخالت پوسته در تشکیل این توده است. از طرف دیگر الگوی مسطح HREE با فرض باقی ماندن گارنت در سنگ منشاء منافات دارد (Kampunzu *et al.* 2003). بنا بر این می‌توان گفت درجهات پایین ذوب بخشی به همراه آلودگی پوسته‌ای از مهمترین عوامل برای غنی شدن LREE نسبت به HREE محسوب می‌شوند. تاکنون نظریات مختلفی در مورد علت غنی شدن magmaهای شوشونیتی از LILE ها و LREE ها ارائه شده است که از آن جمله می‌توان به وجود یک گوشه لیتوسفری دارای کانی‌های آمفیبول یا بیوتیت (Tatsumi & Eggins, 1995)، متاسوماتیسم گوه گوشه‌های در منطقه فرورانش (Feldstein & Lange, 1999) و یا مشارکت رسوبات در منطقه فرورانش اشاره نمود (Macdonald & Hawkesworth, 2000). علاوه بر آن به عقیده آترتون و قانی (Atherton & Ghani, 2002) و کمبر (Kamber *et al.* 2002) آنمالی مثبت Pb به متاسوماتیسم گوهی گوشه‌های توسط سیالات ناشی از لیتوسفر اقیانوسی فرورو و یا آلایش magma با لیتوسفر قاره‌ای اشاره دارد. آنمالی منفی عناصر Ti و Nb را می‌توان به عواملی مثل magmaتیسم مرتبط به فرورانش (Saunders *et al.* 1980; Kuster & Harms 1998) (Kelemen *et al.* 1993; Turner *et al.* 1996) و یا فقر این عناصر در سنگ‌های منشاء magma نسبت داد (Wu *et al.* 2003). همچنین این موضوع یکی از مشخصات سنگ‌های پوسته قاره‌ای بوده (Kuster & Hrams 1998) و می‌تواند نشانه شرکت پوسته در تکامل magmaهای تشکیل دهنده توده مورد مطالعه باشد.

سنگ‌های شوشونیتی توده نفوذی نسائی پایین شباهت زیادی به سنگ‌های گرانیتوئیدی نوع SH (Jiang *et al.* 2002) دارند. بالا بودن محتوی K_2O و نسبت K_2O / Na_2O در این سنگ‌ها، بالا بودن میزان LREE و نسبت LREE/HREE در نمونه‌ها و میزان نسبتاً بالای

Nb, Zr وارد شبکه بلوری کانی‌های زود تبلور یافته می‌شوند. Th نیز به عنوان عناصر ناسازگار عمل می‌کند و در مراحل پایانی تکامل magmaهای وارد شبکه بلوری کانی‌ها می‌شوند و به همین خاطر در برابر MgO روند صعودی به نمایش می‌گذارند.

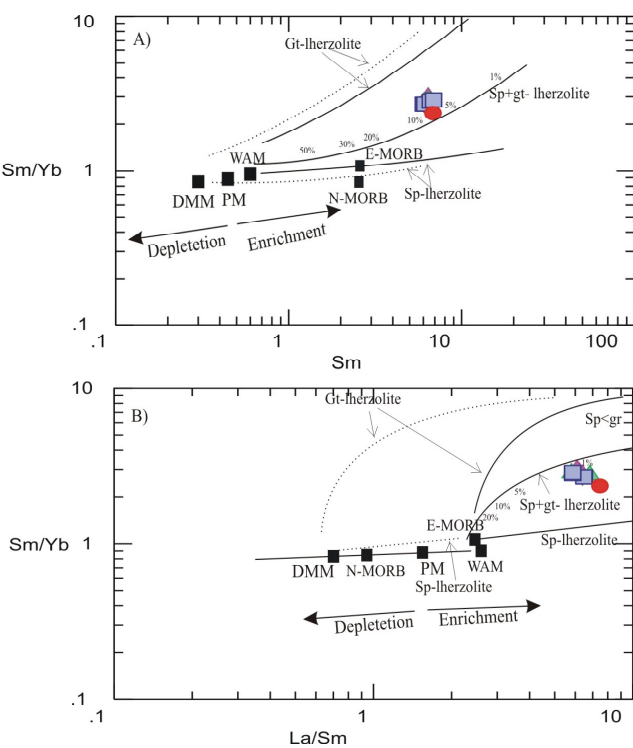
برای تمایز عملکرد فرایند تفریق بلوری و ذوب بخشی در توده نفوذی مورد مطالعه از نمودار شکل ۸ استفاده می‌کنیم. همانطور که در این شکل (Troyl & Joron 1975) ملاحظه می‌شود، پراکندگی سنگ‌های توده نفوذی نسائی پایین از روند تفریق بلوری تبعیت می‌کند که این موضوع حکایت از اهمیت فرایند تفریق بلوری نسبت به ذوب بخشی در تنوع سنگ شناسی این توده دارد.



شکل ۸- نمودار تغییرات Y در مقابل Zr (ppm) (Troyl & Joron, 1975) برای تمایز فرایند ذوب بخشی از تفریق بلوری. علائم مشابه شکل ۳ است.

الگوی فراوانی عناصر نادر خاکی نمونه‌های مختلف بر روی نمودارهای عنکبوتی، روندهای مشابه و موازی نشان می‌دهد که این امر دلالت بر تشابه فرآیندهای magmaهای سازنده این سنگ‌ها دارد. میزان پایین HREE ها نسبت به LREE ها می‌تواند به علت درجه پایین ذوب بخشی و یا باقی ماندن گارنت در سنگ منشا، آلودگی magmaهای (Kampunzu *et al.* 2003) و یا نشانه‌ای از تمرکز فاز سیال در magmaهای اسیدی در هنگام جدایش magma (Kogiso *et al.* 1997; Keppler, 1996) باشد. از آن جا که در سنگ‌های گابرویی غنی شدنی از عناصر

شده است.



شکل ۹- نمودار تغییرات Sm/Yb در برابر Sm (A) و در برابر La/Sm (B) که در آن منحنی های ذوب براساس معادله Batch melting غیر مدار از (Shaw, 1970) به دست آمده است. این منحنی ها معرف درصد ذوب بخشی گوشته تهی شده DMM (خطوط نقطه چین) و گوشته آناتولی غربی WAM (خطوط ممتد) است. ترکیب نمونه های مورد مطالعه با محصولات ذوب بخشی گوشته لرزولیتی گارنت- اسپینل دار مطابقت دارد. علائم مشابه شکل ۳ است.

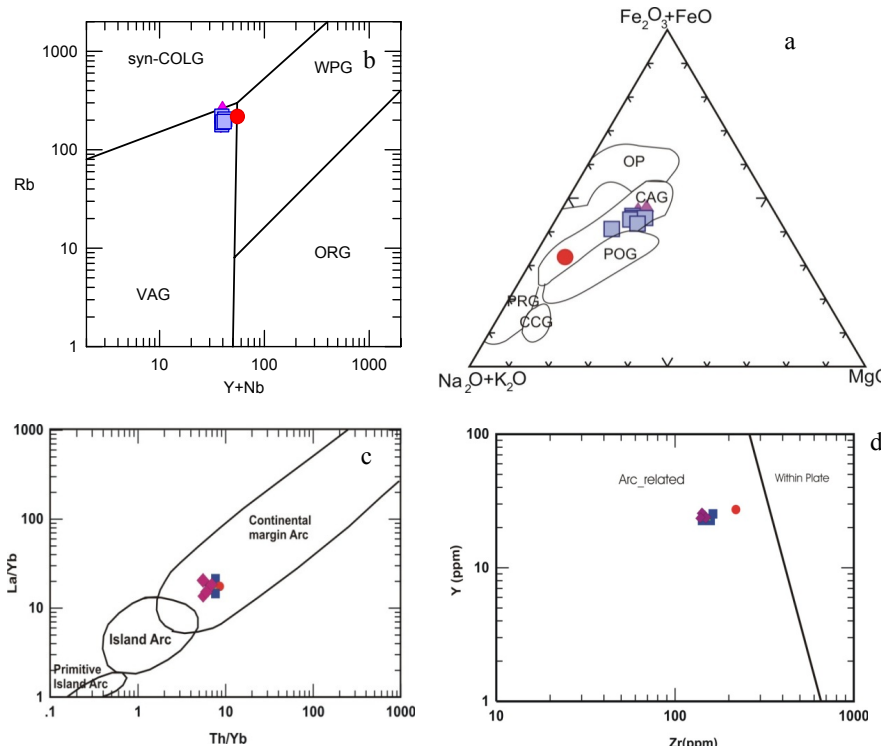
نمونه های مورد مطالعه در نمودار لگاریتمی Rb در برابر Y+Nb (Pearce 1996) در محدوده گرانیت های قوس آتشفسانی VAG (شکل ۱۰-a) و در نمودار مثلثی (Bowden *et al.* 1984) قرار می گیرند (شکل ۱۰-b). گرانیت های قوس قاره ای CAG در محدوده گارنت لرزولیت غنی شده منشاء گرفته باشند. البته در این دو نمودار همچنین نمونه ها در نمودار Zr در برابر Y که برای سنگ های پتانسیک کاربرد دارد (Muller & Groves 2000) در قلمرو سنگ های نفوذی مرتبط با کمان آتشفسانی قرار می گیرند (شکل ۱۰-c). همچنین نسبت های بالای La/Yb و Th/Yb در نمونه های توده نفوذی نسای پایین (شکل ۱۰-d) نیز با شکل گیری آن ها در محیط تکتونیکی حاشیه فعال قاره ای (Condie, 1989) انطباق دارد.

برای تائید ارتباط توده نفوذی نسای پایین با فرآیند فروراش از شواهد زیر نیز می توان یاد نمود:

۱) چنانچه در نمودار عنکبوتی شکل ۷ ملاحظه می شود روند تغییرات عناصر کمیاب در نمونه های مورد نظر که نسبت به گوشته عادی سازی شده اند، از عناصر کمیاب سبک نسبت به انواع سنگین غنی شدگی

عناصری مثل Sr و Br حاکی از آن است که توده مورد مطالعه از لحاظ ژئوشیمیایی به گرانیت های نوع SH (شوشنیتی) تعلق دارد. گرانیت های نوع SH نسبت به گرانیت های نوع I دارای مقادیر بیشتری K₂O + Na₂O هستند. همچنین این نوع از گرانیت های از لحاظ نسبت های O / Na₂O و Fe₂O₃/FeO غنی شدگی منشاء آن ها از REE ها و یا نقش رسوبات در شکل گیری آن ها باشد (Evans & Hanson, 1997) (Jiang *et al.* 2002). غنی شدگی توده های شوشنیتی از عناصر REE می تواند نشانه ۱) تفرقی بلوری ماقمای مافیک گوشته ای همراه با آلودگی یا بدون آلوگی با سنگ های پوسته ۲) ذوب بخشی سنگ های پوسته (Kampunzu *et al.* 2003)

سنگ های با منشاء پوسته ای میزان Nb/Ta پایینی (۱۱-۱۲) دارند در حالی که در سنگ های گوشته ای حدود ۱۵/۵ گزارش شده است (Wada & Wood, 2001). این نسبت در سنگ های مورد مطالعه حدود ۱۶/۵ به دست آمده که با منشاء گوشته ای هماهنگ بیشتری نشان می دهد. به عقیده تی بل مونت و تگیه (Thiéblemont & Teguyey 1994) نسبت Zr/Nb در سنگ های پوسته، بالا و در حدود ۲۲ تا ۲۵ گزارش شده است در حالی که این نسبت در سنگ های نفوذی نسای پایین حدود ۷/۸ تا ۱۰ به دست می آید. بنا بر این از مجموع شواهد فوق می توان نتیجه گرفت که سنگ های مورد مطالعه از گوشته منشاء گرفته اند. در شکل ۹ نسبت های Sm/Yb در برابر Sm و La/Sm ترسیم شده است (Aldanmaz *et al.* 2000). چنانچه در این شکل ملاحظه می شود، نمونه های مرتبط با توده نفوذی نسای پایین روی منحنی اسپینل- گارنت لرزولیت قرار گرفته اند و به نظر می رسد که ماقمای سازنده این سنگ ها از ذوب بخشی درجه کم یک گوشته اسپینل- گارنت لرزولیت غنی شده منشاء گرفته باشند. البته در این دو نمودار کمی اختلاف در ارزیابی درصد ذوب بخشی دیده می شود، به این صورت که در نمودار Sm/Yb در برابر Sm نمونه ها در محدوده ۵ تا ۱۰ درصد ذوب بخشی قرار می گیرند، در حالی که در نمودار Sm/Yb در برابر La/Sm حدود ۳-۲ درجه ذوب بخشی را نشان می دهد. احتمالاً عواملی چون آلودگی ماقمایی موجب این اختلاف جزئی در ارزیابی میزان درجه ذوب بخشی شده چرا که این فرایند تاثیر بسزایی بر فراوانی عنصر La دارد. به عقیده کانلی (Conly *et al.* 2005) نسبت Rb/Zr>0.12 نشان دهنده یک منبع گوشته ای متاسوماتیسم شده توسط سیالات است که میانگین این نسبت در توده نفوذی مورد مطالعه حدود ۱/۳ به دست می آید. بنا بر این این نسبت و سایر شواهد ارائه شده مبنی بر منشاء گیری سنگ های مورد مطالعه از گوشته غنی



شکل ۱۰- نمودارهای تفکیک کننده محیط‌های تکتونیکی. (a) سنگ‌های توده نفوذی نسای پایین در نمودار $\text{Nb} + \text{Y}$ در برابر Rb (Pearce, 1996) در محدوده گرانیت‌های قوس آتشفسانی VAG قرار می‌گیرند. (b) نمونه‌ها در نمودار AFM در محدوده گرانیت‌های قوس قاره‌ای (Bowden et al, 1984) قرار گرفته‌اند. (c) در نمودار La/Yb در برابر Y (Muller & Groves 2000) نمونه‌ها در محدوده گرانیت‌های مرتبه با کمان قرار می‌گیرند. (d) در نمودار Zr (ppm) در برابر Y (ppm) (Condie 1989) علامت مشابه شکل ۳ است در محیط تکتونیکی حاشیه فعال قاره‌ای قرار می‌گیرند.

- بخشی از پلوتونیسم ترشیری زون البرز مرکزی درون طبقات پیروکلاستیک سازند کرج به سن ائوسن جایگزین شده است و به همین دلیل سن بعد از ائوسن به آن نسبت داده شده است.
 ۲) این توده از نظر ترکیب سنگ‌شناسی به دو بخش اصلی تحتانی با ترکیب گابرویی و فوکانی با ترکیب مونزونیتی تقسیم می‌شود. مرز بین این دو بخش تدریجی است و مونزونیت‌ها میزان رگه‌های متعدد سیینیتی هستند. در محل کنتاکت توده با توفیت‌ها یک حاشیه انجماد سریع با ترکیب گابرویی دیده می‌شود که حاکی از جایگزینی توده در اعماق کم پوسته می‌باشد.
 ۳) روند تغییرات تدریجی ترکیب شیمیایی نمونه‌های مختلف توده، موازی بودن الگوی تغییرات عناصر نادر خاکی در کنار تحول تدریجی سنگ‌های گابرویی به مونزونیتی از قاعده به سمت راس توده نشان دهنده نقش تفریق بلورین در تبدیل بخش‌های گابرویی به سیینیتی می‌باشد.

- ۴) سنگ‌های توده نفوذی نسای پایین دارای ماهیت متالومین پر پتاسیم و از نوع شوژونیتی (SH) هستند.
 ۵) شواهدی چون نسبت بالای Zr/Nb و Nb/Ta و Rb/Zr نمونه‌ها بر روی منحنی مربوط به درجات پایینی ذوب بخشی لرزولیت

نشان می‌دهند که این موضوع در کنار وجود آنومالی منفی Nb و Ta از مشخصات باز سنگ‌های آذرین مرتبط با فروراش (Esawi 2004) محسوب می‌شود.

۲) میزان TiO_2 نمونه‌ها بین ۰/۹ تا ۱/۱۷ درصد متغیر است که پایین بودن مقدار TiO_2 (کمتر از ۱/۳ درصد وزنی) در نمونه‌ها نیز یکی از مشخصه‌های مانع‌گذاری ماناطق قوسی (Gill, 1981) است.

۳) نسبت Ba/Ta بالاتر از ۴۵۰ و Ba/Nb بالاتر از ۲۸ یکی از مهمترین خصوصیات ژئوشیمیایی مانع‌گذاری ماناطق قوسی به شمار می‌رود (Fitton et al. 1988). این نسبت‌ها در نمونه‌های توده نفوذی نسای پایین به ترتیب بین ۱۲۰/۳ تا ۲۷۵/۰ و ۷۳ تا ۱۱۵ تغییر می‌کند.

۴) نسبت Th/Ta بین ۶ تا ۲۰ مشخصه سنگ‌های آذرین مرتبط با فروراش در حاشیه فعال قاره‌های (Schandl & Gorton, 2002) است. این نسبت در سنگ‌های توده نفوذی نسای پایین در حدود ۱۸-۱۳/۲ است.

۶) نتیجه‌گیری

نتایج اصلی حاصل از این پژوهش را به شرح زیر می‌توان خلاصه نمود:
 ۱) توده مونزونیتی نسای پایین واقع در رشته کوه‌های طالقان به عنوان

قدردانی

این پژوهش در قالب طرح تحقیقاتی مصوب دانشگاه تهران به شماره ۶۱۰۵۰۲۶/۰۵ که تحت عنوان "پترولوزی و ژئوشیمی توده نفوذی نسای پایین (جنوب دره طالقان)" انجام شده است که بدینوسیله از حوزه معاونت پژوهشی دانشگاه تهران و حوزه معاونت پژوهشی پردیس علوم تشكیر و قدردانی می‌شود.

اسپینل- گارنت دار در نمودارهای Sm/Yb در برابر Sm و La/Sm منشاء گوشه متاسوماتیسم شده را در توده نفوذی نسای پایین نشان می‌دهد.

۶) نسبت بالای عناصر LREE به HREE و LIL ها نسبت به آنومالی منفی Nb و Ti، نسبت Th/Ta بین ۶ تا ۲۰، بالا بودن مقدار Ba/Nb و Ba/Ta، میزان پایین TiO_2 و موقعیت نمونه‌ها بر روی نمودارهای تفکیک‌کننده محیط‌های تکتونیکی همگی نشانه تشکیل این سنگ‌ها در محیطی مرتبط با فرونش در حاشیه فعال قاره است.

منابع:

- Aldanmaz E., Pearce J.A., Thirlwall M.F., Mitchell J.G. 2000: Petrogenetic evolution of late Cenozoic, post-collisional volcanism in western Anatolia, Turkey. *J. Volcanol. Geoth. Res.* **102**: 67-95.
- Annells R.N., Arthuron R.S., Bazely R.A., Davies R.G., 1975: Explanatory text of Qazvin and Rasht quadrangle map 1:250000, report No. E3-E4, geological survey of Iran.
- Atherton M.P., Ghani, A.A. 2002: Slab breakoff: a model for Caledonian, Late Granite syn-collisional magmatism in the orthotectonic (metamorphic) zone of Scotland and Donegal, Ireland. *Lithos*. **62**: 65-85.
- Bowden P., Batchelor R.A., Chappell B.W., Didier J., Lameyre J. 1984: petrological geochemical and source criteria for the classification of granitic rocks: a discussion. *Phys. Earth Planet. In.* **35**: 1-11.
- Condie K.C. 1989: Geochemical changes in basalts and andesites across the Archean-Proterozoic boundary: identification and significance. *Lithos*. **23**: 1-18.
- Conly A.G., Bernan J.M., Bellon H., Scott S.D. 2005: Arc to rift transitional volcanism in the Santa Rosalia Region, Baja California Sur, Mexico. *J. Volcanol. Geoth. Res.* **142**: 303-341.
- Dellenbach J. 1964: Contirbutin a l'étude géologique de la région située à l'est de Téhéran (Iran). Fac. Sci., Univ. Strasbourg (France), 117p.
- Eklund O., Shebanov A. 2005: Prolonged postcollisional shoshonitic magmatism in the southern Svecofennian domain – a case study of the Åva granite–lamprophyre ring complex. *Lithos*. **80**: 229-247.
- Esawi E.K. 2004: Evidence from the Farmington pluton for early Devonian subduction–related magmatism in the Carolina zone of central North Carolina. *J. Geodyn.* **37**: 531-548.
- Evans O.C., Hanson G.N. 1997: Late- to post-kinematic Archaean granitoids of the S.W. Superior Province: derivation through direct mantle melting. In: de Wit, M. J. & Ashwal, L. D. (eds) Greenstone Belts. Oxford: Oxford University Press, p. 280–295.
- Feldstein S.N., Lange R.A. 1999: Pliocene potassic magmas from the Kings River region, Sierra Nevada, California: evidence of melting of a subduction-modified mantle, *J. Petrol.* **40**: 1301-1319.
- Fitton J.G., James D., Kempton P.D., Ormerod D.S., Leeman W.P. 1988. The role of lithospheric mantle in the generation of Late Cenozoic Basic Magmas in the western United States. *Journal of Petrology*. Special Lithosphere Issue, 331–349.
- Gill J.B. 1981: Orogenic Andesites and Plate Tectonics. Springer-Verlag, Berlin. 390p.
- Jiang Y.H., Jiang S.Y., Ling H.F., Zhou X.R., Rui X.J., Yang W.Z. 2002: Petrology and geochemistry of shoshonitic plutons from the western Kunlun orogenic belt, Xinjiang, northwestern China: implications for granitoid geneses. *Lithos*. **63**: 165-187.
- Joplin G. A. 1965: The problem of potash-rich basaltic rocks. *Mineralogical Magazine*. **34**: 266-275.
- Kamber B.S., Ewart A., Collerson K.D., Bruce M.C., McDonald G.D. 2002: Fluid-mobile trace element constraints on role of slab melting and implications for Archaean crustal growth models. *Contrib. Mineral. Petrol.* **144**: 38-56.
- Kampunzu A.B., Tombale A.R. Zhai M., Bagai Z., Majaula T., Modisi M.P. 2003: Major and trace element geochemistry of plutonic rocks from Francistown, NE Botswana: evidence for Neoarchaean continental active margin in the Zimbabwe craton. *Lithos*. **71**: 431-460.
- Keleman P.B., Shimizu N., Dunn T. 1993: Relative depletion of niobium in some arc magmas and continental crust: portioning of K, Nb, La and Ce during melt/rock reaction in the upper mantle. *Earth planet. Sci. Lett.* **120**: 111-134.
- Keppler H. 1996: Constraints from partitioning experiments on the composition of subduction-zone fluids. *Nature*. **380**: 237-240.
- Kogiso T., Tatsumi Y., Nakano S. 1997: Trace element transport during dehydration processes in the subduction oceanic crust: 1. Experiments and implication for the origin of ocean island basalts. *Earth Planet. Sci. Lett.* **148**: 193-205.
- Kuster D., Harms U. 1998: Post-collisional potassic granitoids from the southern and northwestern parts of the Late Neoproterozoic East African Orogen: a review. *Lithos*. **45**: 177-195.
- Macdonald R., Hawkesworth C.J. 2000: The Lesser Antilles volcanic chain: a study in arc magmatism. *Earth Sci. Re.* **49**: 1-76.

- Maniar P.D., Piccoli P.M. 1989: Tectonic discrimination of granitoids. *Geol. Soc. Am. Bull.* **101**: 635-643.
- Morrison G.W., 1980: Characteristics and tectonic setting of the shoshonite rock association. *Lithos*. **13**: 97-108.
- Muller D., Groves D.I. 2000: potassic igneous rocks and associated gold-copper mineralization. 3rd edn. Springer-Verlag, 252p.
- Pearce J.A. 1996: Sources and settings of granitic rocks. *Episodes*. **19**: 120-125.
- Pearce J.A. 1982: Trace element characteristics of lavas from destructive plate boundaries. In: Thorpe RS (ed) *Andesites*. Wiley, New York, p. 525-548
- Peccerillo A., Taylor. S.R. 1976: Geochemistry of Eocene calc-alkaline volcanic rocks from the Kastamonu area, Northern Turkey. *Contrib. Mineral. Petrol.* **58**: 63-81.
- Rudnick R.L., Fountain D.M. 1995: Nature and composition of the continental crust: a lower crustal perspective. *Rev Geophys* **33**:267-309.
- Saunders A.D., Tarney J., Weaver S.D. 1980: Transverse geochemical variations across the Antarctic Peninsula: implications for the genesis of calc-alkaline magmas. *Earth Planet. Sci. Lett.* **46**: 344-360.
- Schandl E.S., Gorton M.P., 2002: Application of high field strength elements to discriminate tectonic settings in VMS environments. *Econ. Geol.* **97**: 629-642 .
- Shelley D. 1993: Igneous and metamorphic rocks under the microscope. Chapman and Hall. London . 445 p.
- Stalder .P. 1971: magmatismes tertiaire et subrecent entre Taleghan et Alamout, Elbourz central (Iran). Bulletin Suisse de Min. et Petr., 51/1, 139 p.
- Stockline J., Eftekhar-nezhad J. 1968: Explanatory text of the Zanjan Quadrangle map (1:250000). G.S.I Rep. No. D4-61.
- Streckeisen A.L. 1976: Classification and nomenclature of igneous rocks. *Neues Jahrbuch fur Mineralogie Abhandlungen*. **107**: 144-214 .
- Sun S.S., McDonough W.F. 1989: Chemical and isotopic systematics of oceanic basalts; implications for mantle composition and processes. In: Magmatism in the ocean basins. Saunders A.D. and Norry M.J. (Editors). *Geol. Soc. Lon., London*. **42**: 313-345 .
- Tatsumi Y., Eggins S. 1995: Subduction Zone Magmatism. BlackWell, Cambridge 211p.
- Thie'blemont D., Tegyey M. 1994: Une discrimination géochimique des roches différenciées témoins de la diversité d'origine et de situation tectonique des magmas calco-alkalins. *Compte Rendu des Académies des Sciences, Paris, Science, Série II*. **319**: 87-94.
- Treuil N.T.B., Joron J.L. 1975: Utilisation des éléments hygromagnétophiles pour la simplification de la modélisation quantitative des processus magmatiques. Exemple de l'Afar et de la Doesale Medioatlantique. *Rend. Soc Ital. Mineral. Petrol.* **31**: 125-174.
- Turner S., Arnaud N., Liu J., Rogers N., Hawkesworth C., Harris N., Kelley S., Van Calsteren P., Deng W.M. 1996: Post collision shoshonitic volcanism on the Tibetan plateau: implications for convective thinning of the Lithosphere and the source of ocean island basalts. *J. Petrol.* **37**: 45-71.
- Wada J., Wood, B.J. 2001: The Earth's 'missing' niobium may be in the core. *Nature*. **409**: 75-78.
- Wu F-Y., Jahn B.M., Wilde S.A., Lo C.H., Yui T.Z., Lin Q., Ge W.C., Sun D.Y. 2003: Highly fractionated I-type granites in NE China (I): geochronology and petrogenesis. *Lithos*. **66**: 241-273.